

УДК 539.3

Исследование электроупругостного состояния цилиндрических оболочек из пьезоматериалов на основе уточненной теории

Фирсанов В.В.^{1*}, Нгуен Л.Х.^{1}, Чан Н.Д.²**

¹*Московский авиационный институт (национальный исследовательский университет), МАИ, Волоколамское шоссе, 4, Москва, А-80, ГСП-3, 125993, Россия*

²*Чан Нгок Доан, Государственный технический университет им. Ле Куи Дона, ул. Хоанг Куок Вьет, 236, Ханой, Социалистическая Республика Вьетнам*

**e-mail: k906@mai.ru*

***e-mail: lehung.mai@mail.ru*

Статья поступила 22.10.2019

Аннотация

Разработан вариант уточненной теории расчета напряженно-деформированного состояния (НДС) цилиндрических оболочек из пьезоматериалов. Математическая модель построена на основании применения уравнений трехмерной теории упругости, а также повышения степени полиномов, аппроксимирующих искомые перемещения по нормальной координате, на два порядка по отношению к классической теории типа Кирхгофа-Лява. С помощью принципа Лагранжа получены уравнения равновесия оболочек и соответствующие краевые условия при действии только электрического поля. Решение сформулированной краевой задачи основано на преобразовании Лапласа.

Ключевые слова: цилиндрическая оболочка, пьезоматериал, электроупругость, уравнения трехмерной теории упругости, напряженно-деформированное состояние, вариационный принцип Лагранжа, краевая задача, преобразование Лапласа.

Введение

Пьезоэлектрический эффект был открыт братьями Пьером и Жаком Кюри. Сущность пьезоэффекта состоит в том, что при деформировании кристаллов некоторых классов на их поверхностях появляются электрические заряды, пропорциональные деформации, и наоборот, существование механических напряжений в кристалле при действии электрического поля. Функциональные элементы конструкций, основанные на использовании пьезоэлектриков, широко применяются в различных областях машиностроения, автоматике, вычисленной техники, особенно в авиакосмической отрасли. Такие конструкции являются технологичными и позволяют эффективно управлять их деформациями [2, 18]. Поэтому, исследование и расчет НДС элементов конструкций из пьезоматериалов является актуальной задачей.

В последнее время предложены различные методы расчета электроупругого состояния тонкостенных конструкций аналитическими и численными методами [4, 5, 13, 19]. В данной работе исследуется НДС цилиндрической оболочки из пьезоматериала для случая шарнирно опертых краев под действием

осесимметричного электрического поля. Подход основан на построении уточненной теории пластин и оболочек [11, 12].

Перемещения разлагаются по нормальной к срединной плоскости оболочки координате в полиномы на две степени выше, чем в классической теории типа Кирхгофа-Лява. Применение вариационного принципа Лагранжа позволяет получить систему уравнений равновесия с краевыми условиями. Для решения сформулированной краевой задачи используется преобразование Лапласа и программное обеспечение ЭВМ.

Постановка задачи. Уравнения состояния пьезоматериалов при деформации [1, 3] с учетом сопряженного электрического поля можно записать в виде

$$\begin{aligned}\sigma_{ij} &= C_{ij}\varepsilon_{ij} - e^T E; \\ D &= e\varepsilon + \mu E,\end{aligned}\tag{1}$$

где $\sigma_{ij} = [\sigma_{11}, \sigma_{22}, \sigma_{33}, \tau_{12}, \tau_{23}, \tau_{31}]$ - вектор напряжения,

$\varepsilon_{ij} = [\varepsilon_{11}, \varepsilon_{22}, \varepsilon_{33}, \gamma_{12}, \gamma_{23}, \gamma_{31}]$ - вектор деформации,

C_{ij} - симметричная матрица коэффициентов податливости, т.е.

$$C_{ij} = \begin{bmatrix} C_{11} & C_{12} & C_{13} & 0 & 0 & 0 \\ C_{12} & C_{22} & C_{23} & 0 & 0 & 0 \\ C_{13} & C_{23} & C_{33} & 0 & 0 & 0 \\ 0 & 0 & 0 & C_{44} & 0 & 0 \\ 0 & 0 & 0 & 0 & C_{55} & 0 \\ 0 & 0 & 0 & 0 & 0 & C_{66} \end{bmatrix},$$

$D = [D_1, D_2, D_3]$ - вектор электрической индукции,

$E = [E_1, E_2, E_3]$ - вектор напряженности электрического поля,

e - матрица пьезоэлектрических постоянных следующие вида,

$$e = \begin{bmatrix} 0 & 0 & 0 & 0 & e_{15} & 0 \\ 0 & 0 & 0 & e_{24} & 0 & 0 \\ e_{31} & e_{32} & e_{33} & 0 & 0 & 0 \end{bmatrix}$$

μ - симметричная матрица диэлектрических проницаемостей

$$\mu = \begin{bmatrix} \mu_{11} & 0 & 0 \\ 0 & \mu_{22} & 0 \\ 0 & 0 & \mu_{33} \end{bmatrix}.$$

Рассматривается круговая замкнутая цилиндрическая оболочка из пьезоматериала длиной L , толщиной $2h$ под действием осесимметричного электрического поля. При этом перемещения обшивки по направлению θ равны нулю, остальные перемещения, деформации и напряжения зависят только от x и z .

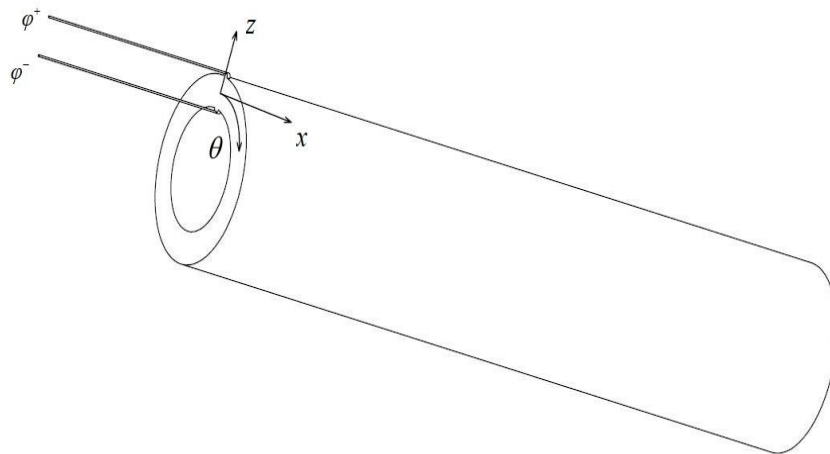


Рис 1. Цилиндрическая пьезоэлектрическая оболочка

Для удовлетворения условия энергетической согласованности [6, 9, 10] перемещения обшивки представляются в следующем виде:

$$u(x, z) = u_0(x) + u_1(x)z + u_2(x) \frac{z^2}{2!} + u_3(x) \frac{z^3}{3!},$$

$$w(x, z) = w_0(x) + w_1(x)z + w_2(x) \frac{z^2}{2!}. \quad (2)$$

В триортогональной криволинейной системе координат формулы «деформации – смещения» обшивки [7, 8] имеют вид

$$\varepsilon_{11} = \frac{1}{H_1} \frac{\partial u}{\partial x} + \frac{1}{H_1 H_2} \frac{\partial H_1}{\partial y} v + \frac{1}{H_1} \frac{\partial H_1}{\partial y} w,$$

$$\varepsilon_{22} = \frac{1}{H_1} \frac{\partial v}{\partial y} + \frac{1}{H_1 H_2} \frac{\partial H_2}{\partial x} u + \frac{1}{H_2} \frac{\partial H_2}{\partial z} w, \quad \varepsilon_{33} = \frac{\partial w}{\partial z},$$

$$\gamma_{12} = \frac{1}{H_2} \frac{\partial u}{\partial y} + \frac{1}{H_1} \frac{\partial v}{\partial x} - \frac{1}{H_1 H_2} \left[\frac{\partial H_1}{\partial y} u + \frac{\partial H_2}{\partial x} v \right] \quad (3)$$

$$\gamma_{13} = \frac{1}{H_1} \frac{\partial w}{\partial x} + \frac{\partial u}{\partial z} - \frac{1}{H_1} \frac{\partial H_1}{\partial z} u,$$

$$\gamma_{23} = \frac{1}{H_2} \frac{\partial w}{\partial y} + \frac{\partial v}{\partial z} - \frac{1}{H_2} \frac{\partial H_2}{\partial z} v,$$

где $H_1 = 1$, $H_2 = 1 + rz$, $H_3 = 1$, $r = \frac{1}{R}$, R – радиус оболочки.

Для описания задачи электроупругости пьезоматериалов [1, 2] используется энтальпия H

$$H = \frac{1}{2} \sigma_{ij} \varepsilon_{ij} - \varepsilon_{ij}^T e^T E_j - \frac{1}{2} D_i E_i. \quad (4)$$

Тогда компоненты НДС и напряженности электрического поля определяются по формулам

$$\sigma_{ij} = \frac{\partial H}{\partial \varepsilon_{ij}}, \quad D_i = \frac{\partial H}{\partial E_i}.$$

Вектор E может быть выражен [1, 3, 20] через скалярную функцию φ , называемую потенциалом $E = -\Delta\varphi$, т.е справедливы формулы

$$E_1 = -\frac{\partial \varphi}{H_1 \partial x}, \quad E_2 = -\frac{\partial \varphi}{H_2 \partial \theta}, \quad E_3 = -\frac{\partial \varphi}{\partial z}. \quad (5)$$

По аналогии с формулами (2) электрический потенциал φ можно разложить [20] по толщине оболочки в виде полинома по координате z следующего вида:

$$\varphi = \varphi_0(x) + \varphi_1(x)z + \varphi_2(x)z^2 \quad (6)$$

Приложим электрический потенциал на верхнюю φ^+ и нижнюю φ^- поверхности оболочки соответственно, т.е

$$\varphi|_{z=h} = \varphi^+, \quad \varphi|_{z=-h} = \varphi^-. \quad (7)$$

Подставляя (7) в (6), получим

$$\varphi_1 = \frac{\varphi^+ - \varphi^-}{2h}, \quad \varphi_2 = -\frac{\varphi_0}{h^2} + \frac{\varphi^+ + \varphi^-}{2h^2}.$$

Дифференциальные уравнения равновесия и естественные граничные условия для рассматриваемой оболочки находим на основе вариационного принципа Лагранжа [14-17]

$$\delta E = \delta H - \delta A_T + \delta A_W = 0, \quad (8)$$

где A_T, A_W соответственно работа внешних сил T_i ($i=1...3$) и работа внешних зарядов Q_i ($i=1...3$).

Подставляя (4) в (8), выражение вариации можно представить как

$$\delta \left(\int_V \sigma_{ij} \varepsilon_{ij} dV - \int_V D_i E_i dV - \int_{S_\sigma} \bar{T}_i u_i dS_\sigma + \int_{S_w} \bar{Q} \varphi dS_w \right) = 0;$$

или

$$\int_V \sigma_{ij} \delta \varepsilon_{ij} dV - \int_V D_i \delta E_i dV - \int_{S_\sigma} \bar{T}_i \delta u_i dS_\sigma + \int_{S_w} \bar{Q} \delta \varphi dS_w = 0. \quad (9)$$

Из выражений(9) находим систему уравнений равновесия

$$\begin{aligned} \frac{\partial N_{11}^{(0)}}{\partial x} = 0, \quad \frac{\partial N_{11}^{(1)}}{\partial x} + \frac{\partial N_{13}^{(1)}}{\partial z} = 0; \\ \frac{\partial N_{11}^{(2)}}{\partial x} + \frac{\partial N_{13}^{(2)}}{\partial z} = 0; \\ \frac{\partial N_{11}^{(3)}}{\partial x} + \frac{\partial N_{13}^{(3)}}{\partial z} = 0; \\ N_{22}^{(0)} - \frac{\partial N_{13}^{(0)}}{\partial x} = 0 \quad ; \\ N_{22}^{(1)} + N_{33}^{(0)} - \frac{\partial N_{13}^{(1)}}{\partial x} = 0; \\ N_{22}^{(2)} + N_{33}^{(1)} - \frac{\partial N_{13}^{(2)}}{\partial x} = 0; \\ \frac{\partial (Dd_1^{(0)} - \frac{Dd_1^{(2)}}{h^2})}{\partial x} + \frac{\partial (Dd_2^{(0)} - \frac{Dd_2^{(2)}}{h^2})}{\partial \theta} - \frac{2Dd_3^{(1)}}{h^2} = 0, \end{aligned} \quad (10)$$

где обобщенные усилия определяются следующими формулами:

$$\begin{aligned}
N_{11}^{(i)} &= \int \sigma_{11} \cdot \left(1 + \frac{z}{R}\right) \frac{z^i}{i!} dz, \quad i=0\dots3; \\
N_{22}^{(i)} &= \int \sigma_{22} \cdot \frac{z^i}{i!} dz, \quad i=0\dots2; \\
N_{33}^{(i)} &= \int \sigma_{33} \cdot \left(1 + \frac{z}{R}\right) \frac{z^i}{i!} dz, \quad i=0\dots2; \\
N_{13}^{(i)} &= \int \sigma_{13} \cdot \left(1 + \frac{z}{R}\right) \frac{z^i}{i!} dz, \quad i=0\dots3; \\
Dd_1 &= \int D_1 \left(1 + \frac{z}{R}\right) dz, \quad Dd_2 = \int D_2 dz, \quad Dd_3 = \int D_3 \left(1 + \frac{z}{R}\right) dz.
\end{aligned} \tag{11}$$

Граничные условия на краях $x = 0$ и $x = L$ представляются в виде

$$\begin{aligned}
u_0 &= u_0^{\Gamma} \text{ либо } N_{11}^{(0)} = 0; \\
u_1 &= u_1^{\Gamma} \text{ либо } N_{11}^{(1)} + N_{13}^{(1)} = 0; \\
u_2 &= u_2^{\Gamma} \text{ либо } N_{11}^{(2)} + N_{13}^{(2)} = 0; \\
u_3 &= u_3^{\Gamma} \text{ либо } N_{11}^{(3)} + N_{13}^{(3)} = 0; \\
w_0 &= w_0^{\Gamma} \text{ либо } N_{13}^{(0)} = 0; \\
w_1 &= w_1^{\Gamma} \text{ либо } N_{13}^{(1)} = 0; \\
w_2 &= w_2^{\Gamma} \text{ либо } N_{13}^{(2)} = 0; \\
e_{15}\varepsilon_{13} + \mu_{11}E_1 + Q_1 &= 0; \\
e_{15}\varepsilon_{23} + \mu_{11}E_2 + Q_2 &= 0; \\
e_{31}\varepsilon_{11} + e_{31}\varepsilon_{22} + e_{33}\varepsilon_{33} + \mu_{33}E_3 + Q_3 &= 0.
\end{aligned} \tag{12}$$

Подставляя (11) в (10) с учетом (3) и (2), получим систему уравнений равновесия в перемещениях и потенциалах

$$K_{u_0}^{12} \frac{d^2}{dx^2} u_0 + K_{u_1}^{12} \frac{d^2}{dx^2} u_1 + K_{u_2}^{12} \frac{d^2}{dx^2} u_2 + K_{u_3}^{12} \frac{d^2}{dx^2} u_3 + K_{phi_0}^{12} \frac{d^2}{dx^2} phi_0 + K_{w_0}^{11} \frac{d}{dx} w_0 + K_{w_1}^{11} \frac{d}{dx} w_1 + K_{w_2}^{11} \frac{d}{dx} w_2 + K_{phi_0}^{11} \frac{d}{dx} phi_0 = 0;$$

$$K_{u_0}^{22} \frac{d^2}{dx^2} u_0 + K_{u_1}^{22} \frac{d^2}{dx^2} u_1 + K_{u_2}^{22} \frac{d^2}{dx^2} u_2 + K_{u_3}^{22} \frac{d^2}{dx^2} u_3 + K_{phi_0}^{22} \frac{d^2}{dx^2} phi_0 + K_{w_0}^{21} \frac{d}{dx} w_0 + K_{w_1}^{21} \frac{d}{dx} w_1 + K_{w_2}^{21} \frac{d}{dx} w_2 + K_{phi_0}^{21} \frac{d}{dx} phi_0 = 0;$$

$$K_{u_0}^{32} \frac{d^2}{dx^2} u_0 + K_{u_1}^{32} \frac{d^2}{dx^2} u_1 + K_{u_2}^{32} \frac{d^2}{dx^2} u_2 + K_{u_3}^{32} \frac{d^2}{dx^2} u_3 + K_{phi_0}^{32} \frac{d^2}{dx^2} phi_0 + K_{w_0}^{31} \frac{d}{dx} w_0 + K_{w_1}^{31} \frac{d}{dx} w_1 + K_{w_2}^{31} \frac{d}{dx} w_2 + K_{phi_0}^{31} \frac{d}{dx} phi_0 = 0;$$

$$K_{u_0}^{42} \frac{d^2}{dx^2} u_0 + K_{u_1}^{42} \frac{d^2}{dx^2} u_1 + K_{u_2}^{42} \frac{d^2}{dx^2} u_2 + K_{u_3}^{42} \frac{d^2}{dx^2} u_3 + K_{phi_0}^{42} \frac{d^2}{dx^2} phi_0 + K_{w_0}^{41} \frac{d}{dx} w_0 + K_{w_1}^{41} \frac{d}{dx} w_1 + K_{w_2}^{41} \frac{d}{dx} w_2 + K_{phi_0}^{41} \frac{d}{dx} phi_0 = 0; \quad (13)$$

$$K_{u_0}^{52} \frac{d^2}{dx^2} u_0 + K_{u_1}^{52} \frac{d^2}{dx^2} u_1 + K_{u_2}^{52} \frac{d^2}{dx^2} u_2 + K_{u_3}^{52} \frac{d^2}{dx^2} u_3 + K_{w_0}^{52} \frac{d^2}{dx^2} w_0 + K_{w_1}^{52} \frac{d^2}{dx^2} w_1 + K_{w_2}^{52} \frac{d^2}{dx^2} w_2 + K_{phi_0}^{52} \frac{d^2}{dx^2} phi_0 + K_{u_0}^{51} \frac{d}{dx} u_0 + K_{u_1}^{51} \frac{d}{dx} u_1 + K_{u_2}^{51} \frac{d}{dx} u_2 + K_{u_3}^{51} \frac{d}{dx} u_3 + K_{w_0}^{51} w_0 + K_{w_1}^{51} w_1 + K_{w_2}^{51} w_2 + K_{500} = 0;$$

$$K_{u_0}^{62} \frac{d^2}{dx^2} u_0 + K_{u_1}^{62} \frac{d^2}{dx^2} u_1 + K_{u_2}^{62} \frac{d^2}{dx^2} u_2 + K_{u_3}^{62} \frac{d^2}{dx^2} u_3 + K_{w_0}^{62} \frac{d^2}{dx^2} w_0 + K_{w_1}^{62} \frac{d^2}{dx^2} w_1 + K_{w_2}^{62} \frac{d^2}{dx^2} w_2 + K_{phi_0}^{62} \frac{d^2}{dx^2} phi_0 + K_{u_0}^{61} \frac{d}{dx} u_0 + K_{u_1}^{61} \frac{d}{dx} u_1 + K_{u_2}^{61} \frac{d}{dx} u_2 + K_{u_3}^{61} \frac{d}{dx} u_3 + K_{w_0}^{61} w_0 + K_{w_1}^{61} w_1 + K_{w_2}^{61} w_2 + K_{600} = 0;$$

$$\begin{aligned}
& K_{u_0}^{72} \frac{d^2}{dx^2} u_0 + K_{u_1}^{72} \frac{d^2}{dx^2} u_1 + K_{u_2}^{72} \frac{d^2}{dx^2} u_2 + K_{u_3}^{72} \frac{d^2}{dx^2} u_3 + K_{w_0}^{72} \frac{d^2}{dx^2} w_0 + K_{w_1}^{72} \frac{d^2}{dx^2} w_1 + K_{w_2}^{72} \frac{d^2}{dx^2} w_2 + \\
& + K_{phi_0}^{72} \frac{d^2}{dx^2} phi_0 + K_{u_0}^{71} \frac{d}{dx} u_0 + K_{u_1}^{71} \frac{d}{dx} u_1 + K_{u_2}^{71} \frac{d}{dx} u_2 + K_{u_3}^{71} \frac{d}{dx} u_3 + K_{w_0}^{71} w_0 + K_{w_1}^{71} w_1 + \\
& + K_{w_2}^{71} w_2 + K700 = 0;
\end{aligned}$$

$$\begin{aligned}
& K_{phi_0}^{82} \frac{d^2}{dx^2} phi_0 + K_{u_0}^{81} \frac{d}{dx} u_0 + K_{u_1}^{81} \frac{d}{dx} u_1 + K_{u_2}^{81} \frac{d}{dx} u_2 + K_{u_3}^{81} \frac{d}{dx} u_3 + K_{w_0}^{81} w_0 + K_{w_1}^{81} w_1 + K_{w_2}^{81} w_2 + \\
& + K_{phi_0}^{81} phi_0 + K800 = 0;
\end{aligned}$$

Здесь коэффициенты K с верхними и нижними индексами обозначают постоянные величины, зависящие от геометрических параметров и пьезоупругих постоянных материала обшивки. Ввиду громоздкости соответствующих им выражений, они не приводятся.

Решение краевой задачи пьезооболочек с помощью преобразования Лапласа. Для решения системы обыкновенных дифференциальных уравнений (13) используется операционный метод, основанный на преобразовании Лапласа. Обозначим изображения искомых перемещений $u_0, u_1, u_2, u_3, w_0, w_1, w_2, phi_0$ через $U_0, U_1, U_2, U_3, W_0, W_1, W_2, PHI_0$.

Тогда изображения их производных можно представить в виде

$$\begin{aligned}
\frac{du_i}{dx} &\leftrightarrow p \cdot U_i - C_{ui00}, \quad \frac{d^2 u_i}{dx^2} \leftrightarrow p^2 \cdot U_i - p \cdot C_{ui00} - C_{ui10}, \quad i = 0...3; \\
\frac{dw_j}{dx} &\leftrightarrow p \cdot W_j - C_{wj00}, \quad \frac{d^2 w_j}{dx^2} \leftrightarrow p^2 \cdot W_j - p \cdot C_{wj00} - C_{wj10}, \quad j = 0..2; \\
\frac{dphi_0}{dx} &\leftrightarrow p \cdot PHI_0 - C_{phi000}, \quad \frac{d^2 phi_0}{dx^2} \leftrightarrow p^2 \cdot PHI_0 - p \cdot C_{phi000} - C_{phi010},
\end{aligned} \tag{14}$$

где произвольные постоянные определяются формулами

$$C_{ui00} = u_i(0), \quad C_{ui10} = \frac{d}{dx} u_i(0), \quad i = 0...3;$$

$$C_{wi00} = w_i(0), \quad C_{wi10} = \frac{d}{dx} w_i(0), \quad j = 0..2; \quad (15)$$

$$C_{phi000} = phi_0(0), \quad C_{phi010} = \frac{d}{dx} phi_0(0).$$

Подставляя изображения (14) в систему (13), получим алгебраическую систему уравнений

$$\begin{aligned} & K_{u_0}^{12} \cdot p^2 \cdot U_0 + K_{u_1}^{12} \cdot p^2 \cdot U_1 + K_{u_2}^{12} \cdot p^2 \cdot U_2 + K_{u_3}^{12} \cdot p^2 \cdot U_3 + K_{phi_0}^{12} \cdot p^2 \cdot PHI_0 + K_{w_0}^{11} \cdot p \cdot W_0 + K_{w_1}^{11} \cdot p \cdot W_1 + \\ & + K_{w_2}^{11} \cdot p \cdot W_2 + K_{phi_0}^{11} \cdot p \cdot PHI_0 = K_{u_0}^{12} \cdot (C_{u000} \cdot p + C_{u010}) + K_{u_1}^{12} \cdot (C_{u100} \cdot p + C_{u110}) + K_{u_2}^{12} \cdot (C_{u200} \cdot p + C_{u210}) + \\ & + K_{u_3}^{12} \cdot (C_{u300} \cdot p + C_{u310}) + K_{phi_0}^{12} \cdot (C_{phi000} \cdot p + C_{phi010}) + K_{w_0}^{11} \cdot C_{w000} + K_{w_1}^{11} \cdot C_{w100} + K_{w_2}^{11} \cdot C_{w200} + K_{phi_0}^{11} \cdot C_{phi000}; \end{aligned}$$

$$\begin{aligned} & K_{u_0}^{22} \cdot p^2 \cdot U_0 + K_{u_1}^{22} \cdot p^2 \cdot U_1 + K_{u_2}^{22} \cdot p^2 \cdot U_2 + K_{u_3}^{22} \cdot p^2 \cdot U_3 + K_{phi_0}^{22} \cdot p^2 \cdot PHI_0 + K_{w_0}^{21} \cdot p \cdot W_0 + K_{w_1}^{21} \cdot p \cdot W_1 + \\ & + K_{w_2}^{21} \cdot p \cdot W_2 + K_{phi_0}^{21} \cdot p \cdot PHI_0 = K_{u_0}^{22} \cdot (C_{u000} \cdot p + C_{u010}) + K_{u_1}^{22} \cdot (C_{u100} \cdot p + C_{u110}) + K_{u_2}^{22} \cdot (C_{u200} \cdot p + C_{u210}) + \\ & + K_{u_3}^{22} \cdot (C_{u300} \cdot p + C_{u310}) + K_{phi_0}^{22} \cdot (C_{phi000} \cdot p + C_{phi010}) + K_{w_0}^{21} \cdot C_{w000} + K_{w_1}^{21} \cdot C_{w100} + K_{w_2}^{21} \cdot C_{w200} + K_{phi_0}^{21} \cdot C_{phi000}; \end{aligned}$$

$$\begin{aligned} & K_{u_0}^{32} \cdot p^2 \cdot U_0 + K_{u_1}^{32} \cdot p^2 \cdot U_1 + K_{u_2}^{32} \cdot p^2 \cdot U_2 + K_{u_3}^{32} \cdot p^2 \cdot U_3 + K_{phi_0}^{32} \cdot p^2 \cdot PHI_0 + K_{w_0}^{31} \cdot p \cdot W_0 + K_{w_1}^{31} \cdot p \cdot W_1 + \\ & + K_{w_2}^{31} \cdot p \cdot W_2 + K_{phi_0}^{31} \cdot p \cdot PHI_0 = K_{u_0}^{32} \cdot (C_{u000} \cdot p + C_{u010}) + K_{u_1}^{32} \cdot (C_{u100} \cdot p + C_{u110}) + K_{u_2}^{32} \cdot (C_{u200} \cdot p + C_{u210}) + \\ & + K_{u_3}^{32} \cdot (C_{u300} \cdot p + C_{u310}) + K_{phi_0}^{32} \cdot (C_{phi000} \cdot p + C_{phi010}) + K_{w_0}^{31} \cdot C_{w000} + K_{w_1}^{31} \cdot C_{w100} + K_{w_2}^{31} \cdot C_{w200} + K_{phi_0}^{31} \cdot C_{phi000}; \end{aligned}$$

$$\begin{aligned} & K_{u_0}^{42} \cdot p^2 \cdot U_0 + K_{u_1}^{42} \cdot p^2 \cdot U_1 + K_{u_2}^{42} \cdot p^2 \cdot U_2 + K_{u_3}^{42} \cdot p^2 \cdot U_3 + K_{phi_0}^{42} \cdot p^2 \cdot PHI_0 + K_{w_0}^{41} \cdot p \cdot W_0 + K_{w_1}^{41} \cdot p \cdot W_1 + \\ & + K_{w_2}^{41} \cdot p \cdot W_2 + K_{phi_0}^{41} \cdot p \cdot PHI_0 = K_{u_0}^{42} \cdot (C_{u000} \cdot p + C_{u010}) + K_{u_1}^{42} \cdot (C_{u100} \cdot p + C_{u110}) + K_{u_2}^{42} \cdot (C_{u200} \cdot p + C_{u210}) + \\ & + K_{u_3}^{42} \cdot (C_{u300} \cdot p + C_{u310}) + K_{phi_0}^{42} \cdot (C_{phi000} \cdot p + C_{phi010}) + K_{w_0}^{41} \cdot C_{w000} + K_{w_1}^{41} \cdot C_{w100} + K_{w_2}^{41} \cdot C_{w200} + K_{phi_0}^{41} \cdot C_{phi000}; \end{aligned}$$

$$\begin{aligned}
& K_{u_0}^{52} \cdot p^2 \cdot U_0 + K_{u_1}^{52} \cdot p^2 \cdot U_1 + K_{u_2}^{52} \cdot p^2 \cdot U_2 + K_{u_3}^{52} \cdot p^2 \cdot U_3 + K_{w_0}^{52} \cdot p^2 \cdot W_0 + K_{w_1}^{52} \cdot p^2 \cdot W_1 + K_{w_2}^{52} \cdot p^2 \cdot W_2 \\
& + K_{phi_0}^{52} \cdot p^2 \cdot PHI_0 + K_{u_0}^{51} \cdot p \cdot U_0 + K_{u_1}^{51} \cdot p \cdot U_1 + K_{u_2}^{51} \cdot p \cdot U_2 + K_{u_3}^{51} \cdot p \cdot U_3 + K_{w_0}^{50} \cdot W_0 + K_{w_1}^{50} \cdot W_1 + \\
& + K_{w_2}^{50} \cdot W_2 + \frac{K500}{p} = K_{u_0}^{52} \cdot (C_{u000} \cdot p + C_{u010}) + K_{u_1}^{52} \cdot (C_{u100} \cdot p + C_{u110}) + K_{u_2}^{52} \cdot (C_{u200} \cdot p + C_{u210}) + \\
& + K_{u_3}^{52} \cdot (C_{u300} \cdot p + C_{u310}) + K_{w_0}^{52} \cdot (C_{w000} \cdot p + C_{w010}) + K_{w_1}^{52} \cdot (C_{w100} \cdot p + C_{w110}) + K_{w_2}^{52} \cdot (C_{w200} \cdot p + C_{w210}) + \\
& + K_{phi_0}^{52} \cdot (C_{phi000} \cdot p + C_{phi010}) + K_{u_0}^{51} \cdot C_{u000} + K_{u_1}^{51} \cdot C_{u100} + K_{u_2}^{51} \cdot C_{u200} + K_{u_3}^{51} \cdot C_{u300}; \quad (16)
\end{aligned}$$

$$\begin{aligned}
& K_{u_0}^{62} \cdot p^2 \cdot U_0 + K_{u_1}^{62} \cdot p^2 \cdot U_1 + K_{u_2}^{62} \cdot p^2 \cdot U_2 + K_{u_3}^{62} \cdot p^2 \cdot U_3 + K_{w_0}^{62} \cdot p^2 \cdot W_0 + K_{w_1}^{62} \cdot p^2 \cdot W_1 + K_{w_2}^{62} \cdot p^2 \cdot W_2 \\
& + K_{phi_0}^{62} \cdot p^2 \cdot PHI_0 + K_{u_0}^{61} \cdot p \cdot U_0 + K_{u_1}^{61} \cdot p \cdot U_1 + K_{u_2}^{61} \cdot p \cdot U_2 + K_{u_3}^{61} \cdot p \cdot U_3 + K_{w_0}^{60} \cdot W_0 + K_{w_1}^{60} \cdot W_1 + \\
& + K_{w_2}^{60} \cdot W_2 + \frac{K600}{p} = K_{u_0}^{62} \cdot (C_{u000} \cdot p + C_{u010}) + K_{u_1}^{62} \cdot (C_{u100} \cdot p + C_{u110}) + K_{u_2}^{62} \cdot (C_{u200} \cdot p + C_{u210}) + \\
& + K_{u_3}^{62} \cdot (C_{u300} \cdot p + C_{u310}) + K_{w_0}^{62} \cdot (C_{w000} \cdot p + C_{w010}) + K_{w_1}^{62} \cdot (C_{w100} \cdot p + C_{w110}) + K_{w_2}^{62} \cdot (C_{w200} \cdot p + C_{w210}) + \\
& + K_{phi_0}^{62} \cdot (C_{phi000} \cdot p + C_{phi010}) + K_{u_0}^{61} \cdot C_{u000} + K_{u_1}^{61} \cdot C_{u100} + K_{u_2}^{61} \cdot C_{u200} + K_{u_3}^{61} \cdot C_{u300};
\end{aligned}$$

$$\begin{aligned}
& K_{u_0}^{72} \cdot p^2 \cdot U_0 + K_{u_1}^{72} \cdot p^2 \cdot U_1 + K_{u_2}^{72} \cdot p^2 \cdot U_2 + K_{u_3}^{72} \cdot p^2 \cdot U_3 + K_{w_0}^{72} \cdot p^2 \cdot W_0 + K_{w_1}^{72} \cdot p^2 \cdot W_1 + K_{w_2}^{72} \cdot p^2 \cdot W_2 \\
& + K_{phi_0}^{72} \cdot p^2 \cdot PHI_0 + K_{u_0}^{71} \cdot p \cdot U_0 + K_{u_1}^{71} \cdot p \cdot U_1 + K_{u_2}^{71} \cdot p \cdot U_2 + K_{u_3}^{71} \cdot p \cdot U_3 + K_{w_0}^{70} \cdot W_0 + K_{w_1}^{70} \cdot W_1 + \\
& + K_{w_2}^{70} \cdot W_2 + \frac{K700}{p} = K_{u_0}^{72} \cdot (C_{u000} \cdot p + C_{u010}) + K_{u_1}^{72} \cdot (C_{u100} \cdot p + C_{u110}) + K_{u_2}^{72} \cdot (C_{u200} \cdot p + C_{u210}) + \\
& + K_{u_3}^{72} \cdot (C_{u300} \cdot p + C_{u310}) + K_{w_0}^{72} \cdot (C_{w000} \cdot p + C_{w010}) + K_{w_1}^{72} \cdot (C_{w100} \cdot p + C_{w110}) + K_{w_2}^{72} \cdot (C_{w200} \cdot p + C_{w210}) + \\
& + K_{phi_0}^{72} \cdot (C_{phi000} \cdot p + C_{phi010}) + K_{u_0}^{71} \cdot C_{u000} + K_{u_1}^{71} \cdot C_{u100} + K_{u_2}^{71} \cdot C_{u200} + K_{u_3}^{71} \cdot C_{u300};
\end{aligned}$$

$$\begin{aligned}
& K_{phi_0}^{82} \cdot p^2 \cdot PHI_0 + K_{u_0}^{81} \cdot p \cdot U_0 + K_{u_1}^{81} \cdot p \cdot U_1 + K_{u_2}^{81} \cdot p \cdot U_2 + K_{u_3}^{81} \cdot p \cdot U_3 + K_{w_0}^{80} \cdot W_0 + K_{w_1}^{80} \cdot W_1 + K_{w_2}^{80} \cdot W_2 + \\
& + \frac{K800}{p} = K_{phi_0}^{82} \cdot (C_{phi000} \cdot p + C_{phi010}) + K_{u_0}^{81} \cdot C_{u000} + K_{u_1}^{81} \cdot C_{u100} + K_{u_2}^{81} \cdot C_{u200} + K_{u_3}^{81} \cdot C_{u300}.
\end{aligned}$$

Пример расчета. В качестве примера расчета рассматривается замкнутая цилиндрическая оболочка из пьезоматериала *PZT* со следующими параметрами:

радиусы обшивки $R = 0,4(\text{м})$; длина оболочки $L = 4R$; толщина обшивки $h = R/100$, модуль упругости $E_0 = 1,00281 \cdot 10^{11}(\text{Па})$. Приложим электрический потенциал $\varphi = \pm 1(\text{В})$ на верхнюю и нижнюю поверхности оболочки $z = \pm h$ с шарнирно закрепленными краями на границах $x = 0, L$.

Результаты расчета НДС получены с помощью программы ЭВМ и показаны на рисунках 2-5.

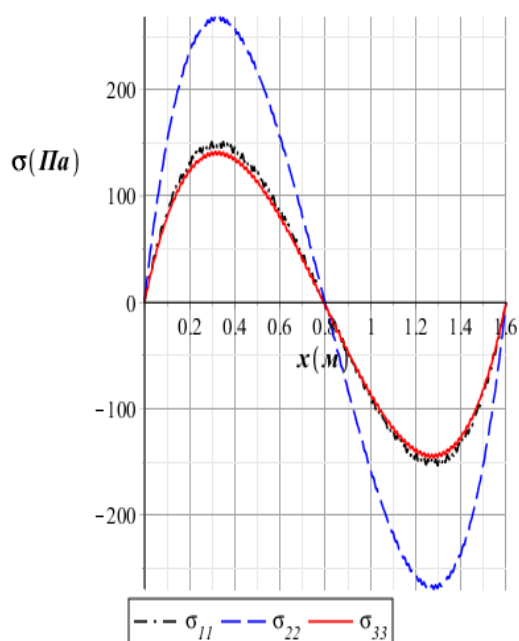


Рис2. Изменение нормальных напряжений по длине оболочки

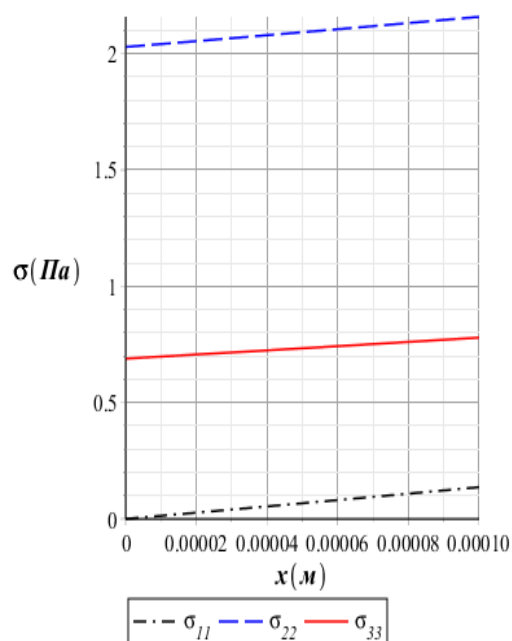


Рис3. Изменение нормальных напряжений вблизи края оболочки

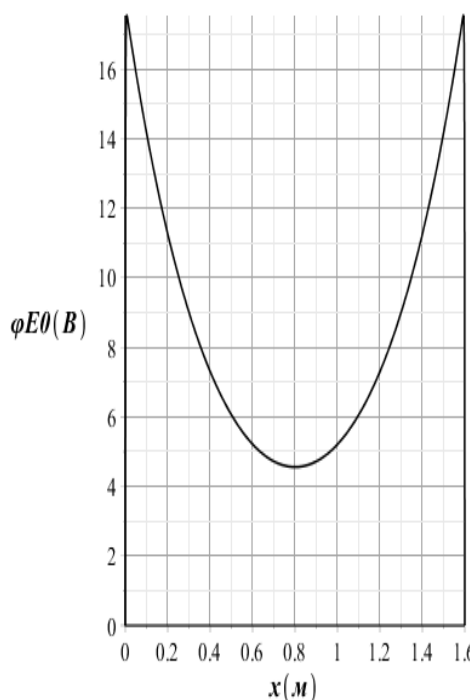


Рис4. Распределение электрического потенциала в оболочке на поверхности $z=0$

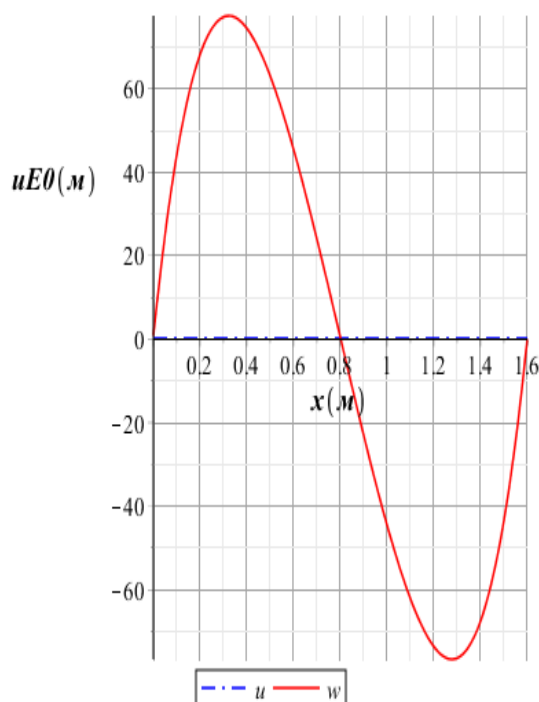


Рис5.Изменение перемещений оболочки на поверхности $z=0$

Выводы

1. На основе разложения компонентов перемещений в полиномы по толщине на две степени выше по отношению к классической теории построен вариант уточненной теории расчета цилиндрических оболочек из пьезоматериалов. С позиции трехмерной теории упругости с помощью вариационного принципа Лагранжа построены уравнения равновесия и граничные условия.

2. Построен аналитический метод расчета цилиндрических оболочек из пьезоматериалов с помощью операционного метода, основанного на преобразовании Лапласа.

3. На основе результатов расчета цилиндрической пьезооболочки показано, что при отсутствии механических нагрузок, но действии только электрического потенциала на поверхности оболочки, в ней существует напряженно-деформированное состояние.

4. Вблизи шарнирно опертых краев имеют место поперечные нормальные напряжения σ_{33} , которыми в классической теории типа Кирхгофа – Лява пренебрегают, и они составляют 33,95% от максимального значения основного напряжения σ_{22} .

Библиографический список

1. Партон В.З., Кудрявцев Б.А. Электромагнитоупругость пьезоэлектрических и электропроводных тел. - М.: Наука, 1998. - 470 с.
2. Гришанина Т.В., Шклярчук Ф.Н. Динамика управляемых конструкций. – М.: Изд-во МАИ, 2007. - 326 с.
3. Шклярчук Ф.Н., Гришанина Т.В. Динамика управляемых конструкций. – М.: Изд-во МАИ, 1999. - 54 с.
4. Тимошенко С.П., Войновский-Кригер С. Пластинки и оболочки. - М.: Наука, 1966. - 636 с.
5. Гольденвейзер А.Л. Теория упругих тонких оболочек. - М.: Наука, 1976. - 512 с.
6. Васильев В.В., Лурье С.А. К проблеме уточнения теории пологих оболочек // Известия АН СССР. Механика твердого тела. 1990. № 6. С. 139 - 146.

7. Власов В.З. Общая теория оболочек и ее приложения в технике. Избранные труды. - М.: АН СССР, 1962. Т.1. - 528 с.
8. Лурье А.И. Теория упругости. - М.: Наука, 1970. - 940 с.
9. Фирсанов В.В., Чан Н.Д. Энергетически согласованная теория цилиндрических оболочек // Проблемы машиностроения и надежности машин. 2011. № 6. С. 49 - 54.
(V.V. Firsanov and Ch.N.Doan. Energy-cousistent theory of cylindrical shells // Journal of machinery, manufacture and reliabity, 2011, vol. 40, no. 6, pp.543 - 548.)
10. Фирсанов В.В. Исследование напряженно-деформированного состояния прямоугольных пластинок на основе неклассической теории // Проблемы машиностроения и надежности машин. 2016. № 6. С. 35 - 43. (Study of stress-deformed state of rectangular plates based on nonclassical theory // Journal of Machinery Manufacture and Reliability, 2016, vol.45, no. 6, pp.515 - 522).
11. Фирсанов В.В., Во А.Х. Исследование продольно подкрепленных цилиндрических оболочек под действием локальной нагрузки по уточненной теории // Труды МАИ. 2018. № 102. URL: <http://trudymai.ru/published.php?ID=98866>
12. Фирсанов В.В., Фам В.Т. Напряженно-деформированное состояние сферической оболочки на основе уточненной теории // Труды МАИ. 2019. № 105. URL: <http://trudymai.ru/published.php?ID=104174>
13. Наседкин А.В., Шевцова М.С. Моделирование эффективных модулей для различных типов пористых пьезокерамических материалов // Вестник Донского государственного университета. 2013. № 3-4 (72-73). С. 16 – 26.

14. Ляв А. Математическая теория упругости.- М. - Л.: ОНТИ, 1935. - 674 с.
15. Рейсснер Э. Некоторые проблемы теории оболочек. Упругие оболочки - М.: Изд-во иностранной литературы, 1962. – 151 с.
16. Зверяев Е.М., Олехова Л.В. Итерационная трактовка полуобратного метода СенВенана при построении уравнений тонкостенных элементов конструкций из композиционного материала // Труды МАИ. 2015. № 79. URL: <http://trudymai.ru/published.php?ID=55762>
17. Гольденвейзер А.Л. Построение приближенной теории оболочек при помощи асимптотического интегрирования уравнений теории упругости // Прикладная математика и механика. 1963. Т. 27. № 4. С. 593 - 608.
18. H.S Tzou. Piezoelectric Shells, Distributed Sensing and Control of Continua. ISBN 978-94-010-4784-5, 1993.
19. Reddy J.N. Mechanics of laminated composite plates and shells: theory and analysis, CRC Press, 2004, 831 p.
20. Xiao-Hong Wu, Changqing Chen, Ya-Peng Shen, Xiao-Geng Tian. A high order theory for functionally graded piezoelectric shells // International Journal of Solids and Structures, 2002, no. 39, pp. 5325 - 5344. DOI: [10.1016/S0020-7683\(02\)00418-3](https://doi.org/10.1016/S0020-7683(02)00418-3).